

پیش‌بینی و ارزیابی تغییرات دما و بارش ایران در دهه‌های MAGICC-SCENGEN آینده با الگوی

فاطمه عباسی^{۱*} - مرتضی اثمری^۲

تاریخ دریافت: ۸۸/۱۰/۲۳

تاریخ پذیرش: ۸۹/۸/۱۶

چکیده

شرایط اقلیم ایران در این مقاله در دهه‌های ۲۰۰۰، ۲۰۲۵، ۲۰۴۰، ۲۰۵۰ و ۲۱۰۰ با استفاده از خروجی دو الگوی گردش عمومی جو (HadCM2) و ECHAM4 (IPCC) با لحاظ ۱۸ سناریوی انتشار، الگوسازی شده است. الگوی MAGICC-SCENGEN برای ریز مقیاس نمایی داده‌های با قدرت تفکیک کم خروجی الگوهای گردش عمومی استفاده شده است. بررسی و مقایسه نتایج دو الگوی HadCM2 و ECHAM4 در این تحقیق پرداخته شده است. نتایج الگوی HadCM2 نشان از کاهش بارش‌های ایران تا دهه ۲۱۰۰ به میزان ۲/۵ درصد است. در حالیکه بارش‌های کشورمان برای دوره مشابه در الگوی ECHAM4 به میزان ۱۹/۸ درصد افزایش یافته است. با تحلیل منطقه‌ای الگوی HadCM2 برای دهه‌های آینده دراستانهای مازندران، گلستان، خراسان شمالی، شمال خراسان رضوی، سمنان، تهران و بخش‌هایی از گیلان و قزوین افزایش بارش در حالیکه الگو ECHAM4 برای مناطق مذکور کاهش بارش را پیش‌بینی نموده است. همچنین الگوی HadCM2 برای نواحی جنوب شرق کشورمان شامل استان‌های هرمزگان، کرمان، بوشهر، جنوب فارس و بخش‌هایی از سیستان و بلوچستان کاهش بارش را پیش‌بینی نموده است. اما در الگوی ECHAM4 مناطق مذکور در دوره مشابه با افزایش بارش مواجه خواهند شد. بر اساس بررسی‌های به عمل آمده نتایج هر دو الگو ییانگر افزایش دمای تمامی استانهای کشورمان در دهه‌های آینده هستند. این دو الگو تا دهه ۲۱۰۰ به طور میانگین افزایش دما ۳/۶ تا ۳/۶ درجه سانتیگراد را برای کشورمان پیش‌بینی می‌کنند که در هر دو الگو توزیع مکانی افزایش دما با هم مطابقت دارند.

واژه‌های کلیدی: الگوی گردش عمومی جو، ECHAM4، HadCM2، تغییر اقلیم

عمومی^۴ (GCM) به صورتی ابتدایی پارامتر سازی شده‌اند. یکی دیگر از مشکلات، روش الگوسازی سامانه‌های فوق الذکر است. این کار نیاز به شبیه سازی‌های چندگانه به منظور جداسازی اثرات انسانی از نوسانات طبیعی دارد. الگوهای اقلیمی نیاز به زمان زیادی برای ارزیابی، آزمایش و اجرا دارند و ممکن است ماه‌ها و سال‌های زیادی برای طراحی، اجرا و تشخیص مجموعه مناسبی از آزمایشها لازم باشد. آنها همچنین نیاز به ظرفیت محاسباتی بالایی دارند. بنا به دلایل یادشده الگوهای تولید سناریوهای اقلیمی^۵ (CSGs) گزینه‌های مناسبی برای این منظور هستند، به شرطی که: (الف) بتوانند رفتار الگوهای پیچیده تر را تبیین کنند، (ب) عدم قطعیت‌های پیش‌بینی‌های اقلیمی را به طور مؤثر و با سرعت کشف کنند و (ج) به آسانی در بسیاری از مناطق استفاده شوند (۲). تعدادی از این CSG‌ها

مقدمه

پیش‌بینی‌های اقلیمی و ارزیابی‌های تغییر اقلیم با مشکلاتی نظری برآورده سطح انتشار گازهای گلخانه‌ای و سایر آینده‌ها در دهه‌های آتی، بزرگ مقیاس بودن تفکیک مکانی و زمانی الگوهای گردش عمومی جو و نظائر آن مواجه است. این عوامل با عدم قطعیت‌های زیادی مواجه هستند. مشکل دیگری که در رابطه با طراحی الگوهای مناسب اقلیمی وجود دارد، یکپارچه کردن تمام بازخوردهایی^۳ است که در سیستم جفت شده جو-اقیانوس-زیست کره-جامعه وجود دارند. بعضی از این بازخوردها حتی در پیشرفت‌های ترین الگوهای گردش

۱- مریم دانشگاه جامع علمی کاربردی-پژوهشکده اقلیم شناسی
۲- نویسنده مسئول: (Email: abbas9999@yahoo.com)

۳- مریم دانشگاه جامع علمی کاربردی-کارشناس ارشد هوشنگی

4 - General Circulation Model
5 - Climate Scenario Generators

می‌کند (۱۷). آر. دی. هارمل و همکارانش (۱۰) در موسسه تحقیقات کشاورزی آمریکا دمای کمینه و بیشینه ایستگاههای هواشناسی آمریکا را با استفاده از روش‌های آماری الگو کردند. مک کاگ و همکاران (۱۵) توامندی الگوی CLIMGEN را برای شبیه سازی پارامترهای هواشناسی مورد مطالعه قرار دادند. بابائیان و کوان (۵) تغییرات اقلیمی کشور کره جنوبی را با استفاده از الگوی LARS-WG در دوره زمانی ۲۰۳۹ تا ۲۰۱۰ مورد ارزیابی قراردادند. این مطالعه بر روی پارامترهای اقلیمی بارش، تابش، دمای حداقل و حداکثر، طول دوره روزهای تر و خشک، طول دوره روزهای داغ و یخندهان و روند تغییرات بارشهای سنگین ده ایستگاه سینوپتیک کشور کره جنوبی انجام گرفت.

الگوی MAGICC SCENGEN قبلاً به طور وسیعی در تعداد زیادی از مطالعات مرتبط با ارزیابی و بررسی اثرات تغییر اقلیم مورد استفاده قرار گرفته است. لازار و همکاران (۱۳) در پژوهشی تاثیرات تغییر اقلیم ناشی از افزایش گازهای گلخانه ای روی کمیت و میزان تراکم برف و همچنین تغییرات زمانی وقوع بهمن در منطقه کوهستانی Aspen را در سالهای ۲۰۳۰ و ۲۱۰۰ مورد بررسی قرار دادند. ارزیابی تغییرات اقلیمی دما و بارش در مطالعه مذکور با استفاده از نرم افزار MAGICC-SCENGEN و با خروجی پنج الگوی گردش عمومی جو بنا عنوان ^۳ HadCM3², HadCM2³, ECHAM4⁴, CSIRO⁴, ECHAM4, انجام شده است.

لوکاتلی (۱۴) در پژوهشی روشها و ابزارهای مناسب برای ارزیابی آسیب پذیری جنگلهای اکوسیستمهای جنگلی و بخش‌های مرتبط با آن در اثر تغییر اقلیم را معرفی نمود. این الگوها از مرکز پژوهش‌های بین‌المللی جنگلهای (CIFOR) و پژوهش‌های کشاورزی حاره‌ای و مرکز آموزش عالی جنگلهای حاره‌ای (CATIE) گرفته شده که در یک برنامه وسیع بین‌المللی تغییر اقلیم در مناطق ایالات متحده آمریکا، آسیای جنوب غربی و آفریقای جنوبی اجرا گردیدند. مدل MAGICC SCENGEN نیز در این مطالعه ارائه گردیده است.

استیر (۲۱) در تحقیقی واکنش مدل‌های هیدرولوژی به تغییر اقلیم را در دو حوضه آبخیز جنوبی و مرکزی شیلی بررسی نمود. در این تحقیق الگوی SWAT برای ارزیابی آب و خاک به کار گرفته شده است ابتدا الگو کالیبره شده و برای حوضه‌های آبخیز اجرا شد سپس با

2- Hadley Center General Circulation Model

- یک الگو گردش عمومی جو که توسط مرکز ماکس پلاتک آلمان از الگو مرکز پیش‌بینی اروپا (EC) (MNF) اقتباس شده است که اکنون نسخه - ۳، ۴ و ۵ آن برای پیش‌بینی های اقلیمی مورد استفاده قرار می‌گیرد.

4- Australia's Comm on weath scientific and Industrial Research Organization

5- Center for International Forst Research

6- Soil and Water Assessment Tool

در سالهای اخیر توسعه یافته و مورد استفاده قرار گرفته اند. به منظور شبیه سازی وضعیت متغیرهای اقلیمی در دوره‌های آتی نیاز به معرفی وضعیت انتشار گازهای گلخانه ای در دوره‌های آتی است. بدین منظور سناریوهای انتشار که در بر گیرنده اطلاعاتی از وضعیت اقتصادی-اجتماعی و میزان انتشار گازهای گلخانه ای در IPCC تدوین گردیدند. اولین سناریوهای انتشار IPCC در سال ۱۹۹۲ با عنوان IS92 برای استفاده در ورودی الگوهای گردش عمومی جو جهت الگوسازی سناریوهای تغییر اقلیم تدوین شد. آنها اولین سناریوهای جهانی برای برآورد تغییرات گازهای گلخانه ای بودند که شش سناریوی IS92f تا IS92a را شامل می‌شدند.

IPCC در سال ۲۰۰۰ سری جدیدی از سناریوهای انتشار را تحت عنوان SRES^۱ را برای لحاظ در گزارش ویژه سوم سناریوهای انتشار تدوین کرد. گروه SRES سه خانواده سناریوهای با نامهای A1, A2, B1, B2 ای را برای توصیف ارتباط بین فرآیندهای تولید کننده گازهای گلخانه ای و آئروسولها و نحوه تغییرات آنها در طی قرن بیست و یکم در مناطق مهم کره زمین را توصیف کرد. بعد از مشخص کردن سهم مولفه‌های اصلی مانند میزان افزایش جمعیت و رشد اقتصادی با استفاده از مراجع بین‌المللی مانند سازمان ملل متحد، بانک جهانی و سازمان بین‌المللی انرژی، شش سناریوی اصلی (سناریوهای خانواده A1, A2, A1, A2, B1, B2) به چهل سناریو با جزئیات بیشتر تقسیم شدند که همه آنها دارای اعتبار واحدی هستند. اطلاعات تکمیلی از هر کدام از سناریوهای IPCC و سناریوهای تدوین شده توسط سایر سازمانها در قالب یک بانک اطلاعات مدون در سایت IPCC به آدرس www.IPCC.ch قابل دسترسی می‌باشد.

از آنجایی که یکی از ضعفهای الگوهای GCM بزرگ بودن مقیاس مکانی و زمانی متغیرهای اقلیمی شبیه سازی شده می‌باشد. بنابراین می‌بایستی خروجی آن‌ها را توسط تکنیک‌های مختلف، کوچک مقیاس نمود (۳). از جمله روش‌های ریز مقیاس نمایی می‌توان به CLIMGEN, GEM, USCLIMATE و WGEN اشاره کرد.

ویلی و همکاران (۲۹) الگوی SDSM را برای ریز مقیاس نمایی بارش و دما با استفاده از روش‌های آماری ابداع کردند. جی. ال. جانسون و همکارانشان (۱۱) از مرکز تحقیقات منابع آب شمال‌غرب آمریکا دو الگوی مختلف تولید داده‌های آب و هواشناسی به نامهای CLIMGEN و USCLIMATE را مورد بررسی قراردادند. CLIMGEN یکی از مولدۀای تصادفی داده‌های آب و هوایی از نوع ریچارسون است که سری های زمانی روزانه بارندگی، دما، نقطه شبنم، باد و تابش خورشیدی را برای یک منطقه مشخص برآورد

1- Special Report an Emissions Scenarios

سطح زمین و دریا را بین سالهای ۱۹۹۰ تا ۲۱۰۰ با استفاده از ستاریوهای انتشار دی اکسید کربن₂ (CO₂، متان (CH₄)، اکسید نیتروژن (N₂O)، هالوکربنها (از قبیل HCFC¹, HFC² و PFC³) و دی اکسید سولفور تعیین کنند (۲۶ و ۲۵, ۲۳, ۲۲, ۱۹). این الگو به طور وسیع توسط IPCC برای ارزیابی‌های مختلف استفاده شده است. ۱۸ ستاریوی انتشار پیش فرض در بخش MAGICC وجود دارد. این ستاریوها قابل روزآمد شدن هستند. کاربر می‌تواند حتی ستاریوی تهیه شده توسط خودش را نیز به الگو وارد کند (۲۶).

بخش دوم این الگو که SCENGEN نام دارد پایگاه داده‌هایی از نتایج تعداد زیادی از الگوهای گردش عمومی جو، داده‌های مشاهده ای جهانی و چهار مجموعه از داده‌های اقلیمی اروپا، جنوب آسیا، آمریکا و آفریقای جنوبی است. SCENGEN طی چندین سال توسعه پیدا کرده و به تنهایی نیز می‌تواند مورد استفاده قرار گیرد. اکسید گوگرد را تبدیل به برآوردهایی از تعییر دمای متوسط سطح زمین و سطح دریا می‌کنند (۱۸ و ۹). در شکل (۱) ساختار کلی الگوی MAGICC - SCENGEN ارائه شده است.

مجموعه داده‌های اقلیمی جهانی در الگوی SCENGEN با قدرت تفکیک ۵ درجه طول و عرض جغرافیایی برای سه متغیر اقلیمی دمای میانگین، بارش و پوشش ابر وجود دارد. اما داده‌های مشاهده ای اقلیمی با قدرت تفکیک ۰/۵ درجه جغرافیایی فقط برای ۴ منطقه بزرگ (اروپا، جنوب آسیا، آمریکا و آفریقای جنوبی) در دسترس هستند (۲۲). این الگو علاوه بر دمای میانگین، بارش و پوشش ابر می‌تواند دمای حداقل، دمای حداکثر، فشار بخار، سرعت باد و میزان تعییرات شبانه روزی دما را نیز الگوسازی نماید (۲۵).

معرفی الگوی LARS-WG

LARS-WG یکی از مشهورترین الگوهای مولد داده‌های تصادفی وضع هوا است که برای تولید مقادیر بارش، تابش، درجه حرارت‌های بیشینه و کمینه روزانه در یک ایستگاه تحت شرایط اقلیمی پایه و آینده به کار می‌رود. مبنای این الگو برای الگوسازی طول دوره‌های خشک و تر، بارش روزانه و سری‌های تابش، توزیع نیمه تحریبی می‌باشد (۲۰). در توزیع نیمه تحریبی فاصله‌ها به طور مساوی بین مقادیر ماکزیمم و مینیمم سری زمانی ماهانه تقسیم می‌شوند:

$$\text{EMP} = \{a_0, a_i, h_i \mid i=0, 1, 2, \dots, 10\}$$

- 1- Hydrochloro fluoro Carbons
- 2- Hydrofluoro Carbons
- 3- Perfluoro Carbons

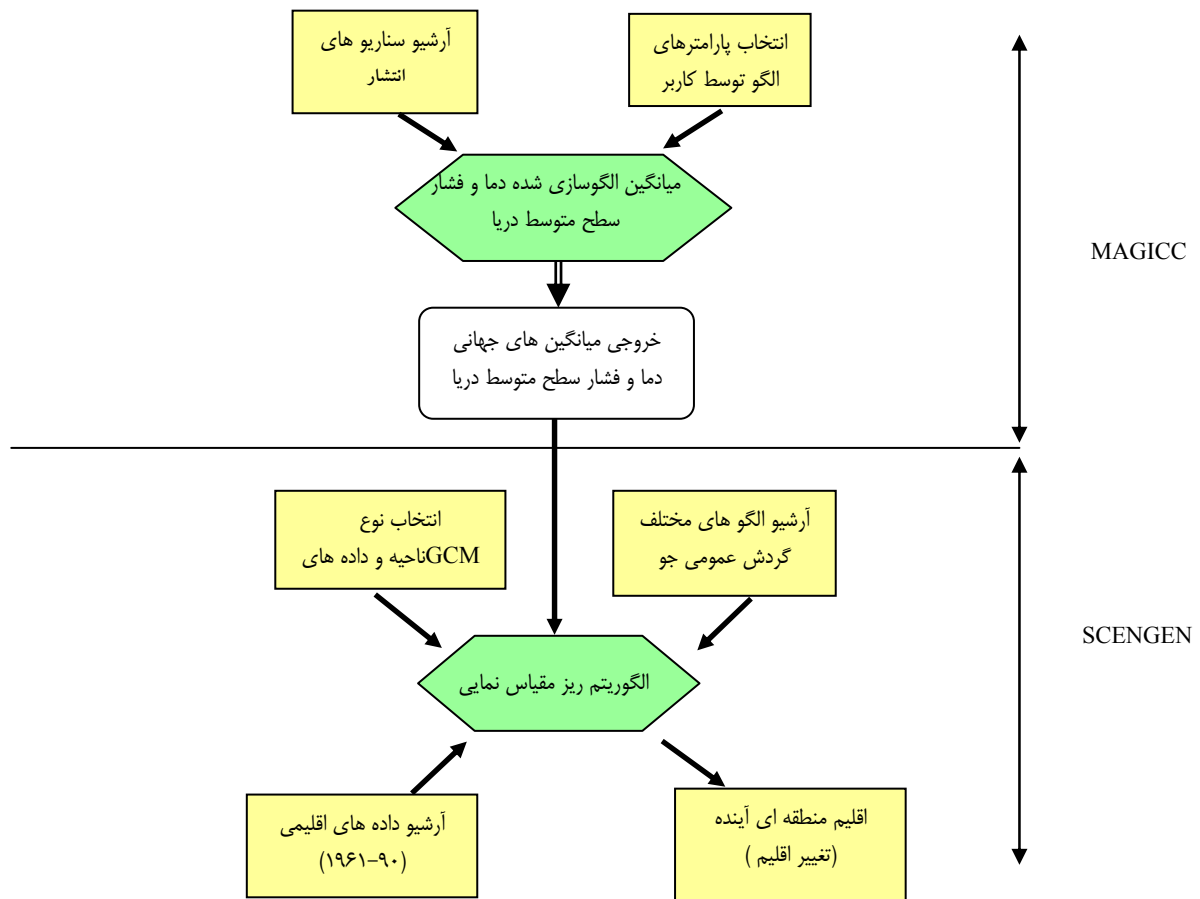
استفاده از الگوی MAGICC SCENGEN تاثیر تعییر اقلیم بر حوضه تعیین گردید. نتایج نشان دهنده کاهش میانگین دبی حوضه‌ها در دهه‌های آینده می‌باشد. گاسو (۷) در مطالعه‌ای با عنوان روشی برای تخمین دینامیکی رژیم کربن و آب اکوسیستم جنگلی کاجی، از الگوی MAGICC SCENGEN به عنوان الگوی تولید کننده ستاریو برای مناطق مختلف زمین استفاده نمود و الگوی SWAP برای تخمین تعییرات کربن و تبخر و تعرق اکوسیستم‌های جنگلی کاجی در منطقه لوبوس هلند تا دهه ۲۱۰۰ بکاربرد. آندره روس (۴) در مطالعه‌ای با عنوان مهندسی اقلیم و ریسک سرعت تعییر اقلیم، با استفاده از مدل اقلیمی MAGICC SCENGEN آهنگ تعییرات دما را برای دهه‌های آینده برآورد کرد. گزارشات متفاوتی از اجرای این الگو در مناطق مختلف جهان تهیه و در اختیار نهادهای اجرایی و دانشگاهی قرار گرفته است. نسخه ۲/۴ نرم افزار SCENGEN توسط ویکلای و همکاران (۲۵) ارائه شده است. در MAGICC SCENGEN مطالعه حاضر با استفاده از الگوی داده‌های دو الگوی مختلف گردش عمومی جو بر روی ایران ریز مقیاس شده و وضعیت بارش و دمای کشور تا سال ۲۱۰۰ میلادی الگوسازی شده است. در نهایت نتایج حاصل از اجرای الگوی LARS-WG با نتایج اجرای الگوی MAGICC SCENGEN یک الگو تولید داده‌های هواشناسی می‌باشد، مقایسه می‌گردد.

مواد و روش‌ها

معرفی الگوی MAGICC SCENGEN

الگوی MAGICC SCENGEN از دو بخش اصلی SCENGEN و MAGICC تشکیل شده است که ارزیابی تعییر اقلیمی ناشی از انتشار گازهای گلخانه ای بهده بخش MAGICC است که متشکل از مجموعه ای از الگوهای ساده مرتبط با هم می‌باشد (۱۰).

یک الگوی گردش عمومی جو GCM نیست. اما از داده‌های یک سری الگوهای اقلیمی استفاده می‌کند تا رفتار الگوهای GCM را بر روی مناطق مختلف جهان الگوسازی نماید (۲۶). MAGICC متوسط سالانه دمای هوای سطح زمین و متوسط سالانه دمای سطح دریا را از ستاریوهای انتشار گازهای گلخانه ای و دی اکسید گوگرد محاسبه می‌کند (۲۸ و ۱۶). این بخش شامل مجموعه ای از داده‌های اقلیمی مشاهده ای و خروجی الگوهای گردش عمومی جو است که امکان بررسی و ارزیابی ابعاد مختلف عدم قطعیت را در رابطه با اقلیم آینده به کاربر می‌دهد. این بخش در حقیقت شامل مجموعه ای از الگوهای جفت شده مختلف است که در یک بسته نرم افزاری با یکدیگر تلفیق شده اند. این نرم افزار به کاربر امکان می‌دهد که تعییرات در غلظت دی اکسید کربن جو (CO₂، دمای متوسط



شکل ۱- الگوی MAGICC-SCENGEN از دو بخش اصلی MAGICC و SCENGEN تشکیل شده است ().

علاوه بر سناریوی تدوین شده برای هر شبکه محاسباتی، برای اجرای الگو LARS-WG نیاز به فایل مشخصه رفتار اقلیم گذشته ایستگاههای واقع در داخل آن شبکه نیز وجود دارد. سپس این الگو با دریافت فایل محتوی رفتار اقلیم گذشته ایستگاه و پوشش سناریوی تولید داده، مقادیر روزانه دمای کمینه، بیشینه، بارش و تابش روزانه را در آینده محاسبه می‌کند. مکانیسم عمل الگو به این صورت است که آن در ابتدا با استفاده از سناریوی تولید داده ماهانه که در برگیرنده رفتار اقلیم پایه می‌باشد، تمامی داده‌های ماهانه را مطابق فرمول:

$$F_{fut} = F_{obs} + (F_{GCM}^{fut} - F_{GCM}^{base}) \quad (1)$$

F_{GCM}^{base} و F_{GCM}^{fut} می‌کند که در آن پریشیده^۱ به ترتیب نشانده‌هند پارامتر هواشناسی پیش‌بینی شده بر روی ایستگاه هواشناسی، پارامتر هواشناسی دیدبانی شده در همان ایستگاه، پارامتر هواشناسی پیش‌بینی شده بر روی شبکه الگو در دوره آینده و

یک بافت نگار با ده طبقه به صورت $[a_{i-1}, a_i]$ و با فرض $i=0, 1, 2, \dots, 10$ است. a_i فراوانی (تعداد بارش) در طبقه i است. سری‌های فوریه درجه حرارت را در این الگو تخمین می‌زنند. درجه حرارت‌های مینیمم و ماکزیمم روزانه به صورت فرآیندهایی تصادفی با میانگین و انحراف معیارهای روزانه که وابسته به وضعیت تریا خشک بودن روز مورد نظر هستند، الگوسازی می‌شوند. سری فوریه مرتبه سوم برای شبیه‌سازی میانگین و انحراف معیار درجه حرارت فصلی به کار می‌رود. رفتار حاکم بر مقادیر مانده‌ها که از تغیر مقادیر میانگین از مقدار دیدبانی شده به دست می‌آیند، از طریق تحلیل خود همبستگی زمانی داده‌های مینیمم و ماکزیمم بدست می‌آید (۱).

تولید داده‌ها توسط الگوی در سه مرحله انجام می‌شود که عبارتند از: کالیبره کردن، ارزیابی و ایجاد داده‌های هواشناسی. در این الگو ابتدا داده‌های الگو گردش عمومی جو ECHO-G شامل بارش، دمای کمینه، دمای بیشینه و تابش به صورت روزانه استخراج شده و برای هر شبکه الگو یک سناریوی خاص تولید داده تدوین می‌شود.

تغییرات، منطقه مورد مطالعه و... انجام پذیرفته و مدل اجرا و خروجی‌ها بررسی می‌شوند.

جدول ۱ - موقعیت و ابعاد شبکه محاسباتی در الگو-MAGICC SCENGEN برای ایران

منطقه	عرض جغرافیایی	طول جغرافیایی
۳۵-۴۰N	۵۰-۵۵E	۱
۳۵-۴۰N	۵۵-۶۰E	۲
۳۵-۴۰N	۶۰-۶۵E	۳
۳۰-۳۵N	۵۰-۵۵E	۴
۳۰-۳۵N	۵۵-۶۰E	۵
۳۰-۳۵N	۶۰-۶۵E	۶
۲۵-۳۰N	۵۰-۵۵E	۷
۲۵-۳۰N	۵۵-۶۰E	۸
۲۵-۳۰N	۶۰-۶۵E	۹

نتایج و بحث میانگین بارش

نتایج حاصل از ریز مقیاس نمایی داده‌های الگو HadCM2 نشان دهنده کاهش میانگین بارش در کل منطقه در دهه‌های آینده است. در بین دهه‌های منتخب، دهه ۲۱۰۰ (نماینده دوره ۲۰۸۰ تا ۲۱۱۵ میلادی) بیشترین کاهش بارش را نسبت به دهه‌های دیگر دارد (شکل ۳ و جدول ۲). بیشترین کاهش بارندگی در دهه مذکور مربوط به سناریوی IS92D حدود ۶ درصد می‌باشد. مناطق ۱ و ۲، مناطق شامل استانهای مازندران، گلستان، خراسان شمالی، نواحی شمالی خراسان رضوی، نیمه شمالی استان سمنان، تهران و بخش‌هایی از گیلان، قزوین و مرکزی در دهه‌های آینده با افزایش بارندگی مواجه خواهد بود، بیشترین افزایش بارندگی در منطقه ۳ شامل شمال شرق و شرق استان خراسان رضوی، رخ می‌دهد. افزایش بارشها در سواحل شرقی و جنوبی خزر قابل ملاحظه نمی‌باشد.

همچنین بیشترین کاهش بارش کشورمان در مناطق ۸، ۷ و ۹ در استانهای جنوبی و جنوب شرقی کشور شامل هرمزگان، بخش‌هایی از سیستان و بلوچستان، جنوب استان فارس، کرمان و بوشهر رخ می‌دهد. در شکل ۳ تغییرات بارش دهه‌های آینده کشورمان با لحاظ سناپیوهای مختلف با داده‌های Hadcm2 مشاهده می‌شود.

نتایج اجرای الگوی MAGICC SCENGEN با داده‌های الگو گردش عمومی جو ECHAM4 نشان می‌دهد که بارشها در کل منطقه روند افزایشی دارند، بطوریکه بیشترین افزایش بارش در دهه ۲۱۰۰ رخ می‌دهد. در این الگو بیشترین و کمترین افزایش بارش به ترتیب با سناریوهای IS92E و IS92C به میزان ۲۹/۲ و ۱۲ درصد

پارامتر هواشناسی الگو شده بر روی شبکه الگو در دوره گذشته می‌باشد. سپس با حفظ میانگین، انحراف معیار آنها را مطابق فرمول زیر تغییر می‌دهد (۱).

$$STD_{fut} = \frac{STD_{base}^{OBS}}{STD_{base}^{GCM}} \times STD_{fut}^{GCM} \quad (2)$$

که در آن STD انحراف معیار پارامتر هواشناسی تحت بررسی است.

داده‌ها، ناحیه و دوره مورد مطالعه

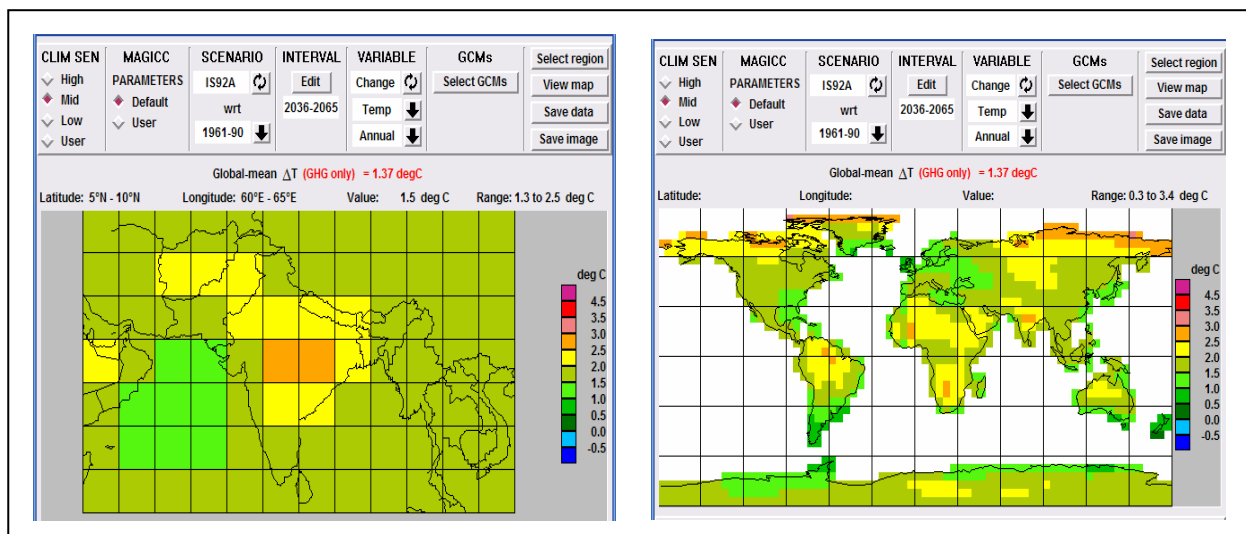
با توجه به محدودیتهای موجود در اجرای الگوهای دینامیکی اقلیمی و همچنین قدرت تفکیک فضا-زمانی کم این الگوها برای ارزیابی تغییرات اقلیمی دهه‌های آینده، الگوی MAGICC SCENGEN برای ریز مقیاس نمایی آماری خروجی دو الگوی گردش عمومی جو ECHAM4 و HadCM2 و با انتخاب گردید و با تقسیم ایران به ۹ شبکه محاسباتی، برای هر کدام از مناطق مذکور تغییرات بارش و دما برای دهه‌های ۲۰۰۰، ۲۰۵۰، ۲۰۷۵ و ۲۱۰۰ الگوسازی گردید. بازه‌های زمانی نمایش سناریوهای تغییر اقلیمی تواند به صورت ماهانه، فصلی و یا سالانه باشد. محاسبات برای ایران با قدرت تفکیک ۵/۰ درجه جغرافیایی انجام شد.

علاوه بر فصول سه ماهه استاندارد یک دوره اضافی شامل ژوئن، جولای، اگوست و سپتامبر نیز بدليل اهمیت موسمی هندوستان در نظر گرفته شده است. این الگو می‌تواند از ۱۶ الگو GCM بصورت منفرد یا چندتایی و یا از همه آنها استفاده نماید که در صورت انتخاب MAGICC GCM، میانگین آنها مد نظر خواهد بود (۹). الگوی چند SCENGEN مطابق جدول ۱ ایران را به ۹ شبکه (منطقه) محاسباتی تقسیم می‌کند. در شکل ۲ محدوده جهانی و منطقه‌ای برای استفاده از الگوی MAGICC SCENGEN برای ریز مقیاس نمایی داده‌های الگوی گردش عمومی جو با استفاده از ۱۸ سناریوی انتشار دیده می‌شود که در ناحیه جنوب غرب آسیا قرار دارد. در شبکه بندي منطقه‌ای ملاحظه می‌شود که ایران در داخل ۹ شبکه محاسباتی الگو MAGICC SCENGEN قرار گرفته است.

در این مطالعه دوره آماری ۱۹۶۱ تا ۱۹۹۰ میلادی به عنوان دوره اقلیم پایه لحاظ گردیده است که داده‌های آن مطابق قدرت تفکیک الگو برای ایران موجود است. خروجی‌های دما و بارش برای دوره‌های زمانی ۱۹۸۶ تا ۲۰۱۵ میلادی (نماینده دهه ۲۰۰۰)، ۲۰۱۱ تا ۲۰۴۰ میلادی (دهه ۲۰۲۵)، دوره ۲۰۳۶ تا ۲۰۶۵ میلادی (دهه ۲۰۵۰)، دوره ۲۰۶۱ تا ۲۰۹۰ میلادی (دهه ۲۰۷۵) و دوره ۲۰۸۶ تا ۲۱۱۵ میلادی (دهه ۲۱۰۰) مورد تجزیه و تحلیل قرار گرفتند. ابتدا RUN دلالگوی MAGICC سناریوی مورد نظر انتخاب والگوی گردش سپس در نرم افزار SCENGEN سایر انتخابها نظیر الگوی گردش عمومی جو، پارامتر مورد مطالعه، دوره الگوسازی، نحوه

بود که بیشترین کاهش بارندگی در منطقه ۱ شامل استانهای واقع در سواحل شرقی و جنوبی خزر مانند مازندران، گلستان، بخشهایی از گیلان، سمنان، قزوین، مرکزی خواهد بود. این استانها بین ۰/۸ تا حدود ۹ درصد کاهش بارندگی خواهند داشت.

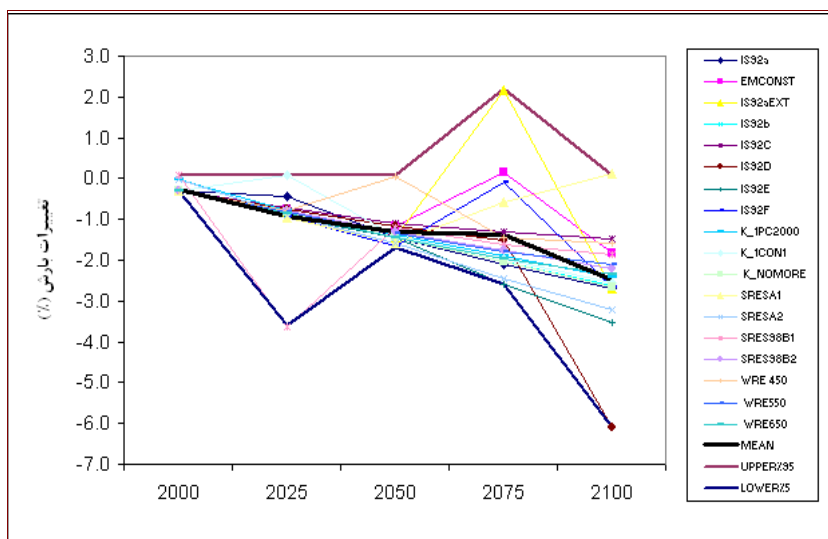
رخ می‌دهد (جدول ۳). بر اساس این نتایج، مناطق ۱، ۲ و ۳ شامل استانهای مازندران، خراسان شمالی، گلستان، بخشهایی از خراسان رضوی، نیمه شمالی استان سمنان، تهران و بخشهایی از گیلان، قزوین و مرکزی در دهه های آینده با کاهش بارندگی مواجه خواهند



شکل ۲- محدوده منطقه ای (شکل چپ) و جهانی (شکل راست) الگو MAGICC-SCENGEN

جدول ۲- تغییرات بارش (درصد) الگو شده کشور توسط MAGICC-SCENGEN باددادهای HadCM2

ردیف	سناریو	۲۰۰۰ دهه	۲۰۲۵ دهه	۲۰۵۰ دهه	۲۰۷۵ دهه	۲۱۰۰ دهه
۱	IS92a	-۲/۷	-۲/۱	-۱/۵	-۰/۴	-۰/۳
۲	IS92b	-۱/۸	۰/۱	-۱/۲	-۰/۸	-۰/۳
۳	IS92c	-۲/۷	۲/۲	-۱/۵	-۰/۸	-۰/۳
۴	IS92d	-۲/۶	-۲	-۱/۴	-۰/۸	-۰/۳
۵	IS92e	-۱/۵	-۱/۳	-۱/۱	-۰/۷	-۰/۳
۶	IS92f	-۶/۱	-۱/۵	-۱/۲	-۰/۷	-۰/۳
۷	IS92aEXT	-۳/۵	-۲/۶	-۱/۵	-۰/۹	-۰/۳
۸	K-CONI	-۲/۷	-۰/۱	-۱/۷	-۰/۹	-۰/۳
۹	K-IPC	-۲/۴	-۱/۹	-۱/۴	۰/۸	۰
۱۰	K-NOMO	-۲/۶	-۲	-۱/۴	-۰/۱	-۰/۳
۱۱	EMCONST	-۲/۶	-۲	-۱/۴	-۰/۸	-۰/۳
۱۲	WRE450	۰/۱	-۰/۶	-۱/۶	-۱	-۰/۳
۱۳	WRE550	-۳/۲	-۲/۵	-۱/۶	-۰/۹	۰
۱۴	WRE650	-۱/۹	-۱/۶	-۱/۲	-۳/۶	-۰/۳
۱۵	SRESA1	-۲/۲	-۱/۷	-۱/۳	-۰/۸	-۰/۳
۱۶	SRESA2	-۱/۶	-۱/۴	۰/۱	-۰/۸	-۰/۳
۱۷	SRESB1	-۲/۱	-۱/۸	-۱/۴	-۰/۸	-۰/۳
۱۸	SRESB2	-۲/۴	-۲	-۱/۴	-۰/۸	-۰/۳
	میانگین	-۲/۵	-۱/۴	-۱/۳	-۰/۹	-۰/۳



شکل ۳- برآورد تغییرات دهه‌ای بارش کشور توسط الگو گردش عمومی جو HadCM2 با استفاده از داده‌های MAGICC SCENGEN

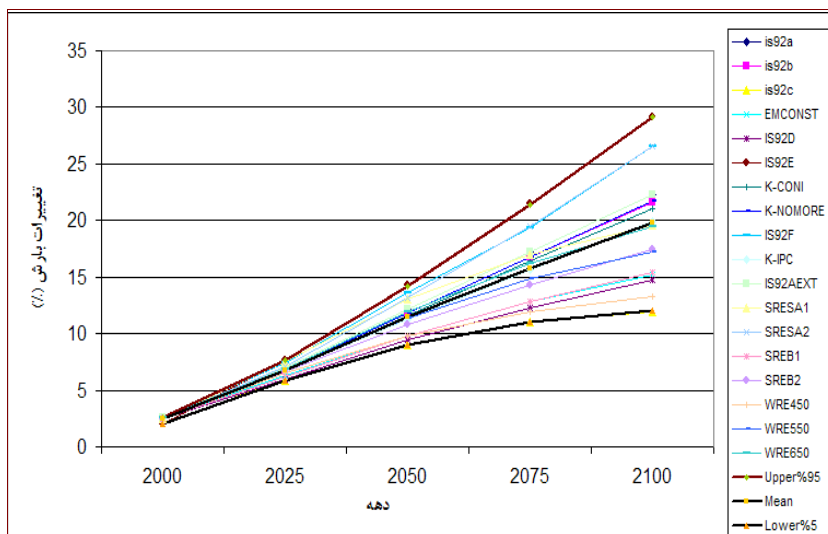
عمومی جو ECHAM4 و HadCM2 توسط الگوی آماری MAGICC SCENGEN با دمای دوره پایه کشورمان (۱۹۹۰-۱۹۶۱) مقایسه گردید و میزان تغییرات دمای دهه‌های ۲۰۰۰، ۲۰۲۵، ۲۰۵۰، ۲۰۷۵، ۲۱۰۰ و ۲۱۰۰ نسبت به دوره پایه، مطابق جدول ۴، محاسبه گردید.

اشکال ۵ و ۶ تغییرات دمای دهه‌ای کشور را با سناریوهای مختلف نشان می‌دهند که در آن میانگین دما در دهه‌های آینده روند افزایشی دارد. در بین دهه‌های مورد مطالعه، دهه ۲۱۰۰ بیشترین افزایش دما را نسبت به نرمال خواهد داشت.

به جز مناطق ۲، ۱ و ۳ سایر استانهای کشور شامل استانهای سیستان و بلوچستان، هرمزگان، کرمان، فارس، بوشهر، خراسان جنوبی، ایذه، اصفهان، چهارمحال و بختیاری، نواحی جنوبی خراسان رضوی، بخش‌های جنوبی سمنان، تهران و مرکزی با افزایش بارش مواجه می‌باشند، که بیشترین افزایش بارندگی در سواحل خلیج فارس و دریای عمان خواهد بود. در شکل ۴ تغییرات بارش میانگین دهه‌ای کشور در دهه‌های آینده با سناریوهای مختلف دیده می‌شود.

میانگین دما

میانگین دمای ریز مقیاس نمایی شده خروجی دو الگوی گردش



شکل ۴- برآورد تغییرات دهه‌ای بارش در دوره ۲۰۰۰-۲۱۰۰ کشور توسط الگو MAGICC SCENGEN با استفاده از داده‌های ECHAM4 جو گردش عمومی

جدول ۳- تغییرات بارش (بر حسب درصد) الگو شده کشور توسط MAGICC-SCENGEN با استفاده از داده‌های ECHAM4

ردیف	سناریو	۲۰۰۰هـ دهه	۲۰۲۵هـ دهه	۲۰۵۰هـ دهه	۲۰۷۵هـ دهه	۲۱۰۰هـ دهه
۱	IS92a	۶/۹	۶/۸	۱۲/۲	۱۷/۳	۲۲/۳
۲	IS92b	۲/۵	۲/۵	۱۱/۸	۱۶/۸	۲۱/۶
۳	IS92c	۲/۶	۵/۹	۹	۱۱	۱۲
۴	IS92d	۲/۵	۶/۳	۹/۸	۱۲/۸	۱۵/۲
۵	IS92e	۲/۴	۵/۹	۹/۴	۱۲/۳	۱۴/۸
۶	IS92f	۲	۷/۷	۱۴/۲	۲۱/۴	۲۹/۲
۷	IS92aEXT	۲/۵	۶/۷	۱۱/۶	۱۶/۴	۲۱/۱
۸	K-CONI	۲/۵	۶/۸	۱۱/۸	۱۶/۸	۲۱/۸
۹	K-IPC	۲/۶	۷/۵	۱۳/۶	۱۹/۴	۱۶/۶
۱۰	K-NOMO	۲/۵	۶/۷	۱۱/۳	۱۵/۷	۱۹/۹
۱۱	EMCONST	۲/۵	۶/۹	۱۲/۲	۱۷/۳	۲۲/۳
۱۲	WRE450	۲/۵	۷/۵	۱۳	۱۷	۱۹/۶
۱۳	WRE550	۲/۵	۷/۱	۱۳/۱	۱۹/۵	۲۶/۵
۱۴	WRE650	۲/۵	۶/۲	۹/۸	۱۲/۸	۱۵/۴
۱۵	SRESA1	۲/۵	۶/۷	۱۰/۸	۱۴/۳	۱۷/۴
۱۶	SRESA2	۲/۵	۶/۶	۹/۸	۱۱/۹	۱۳/۳
۱۷	SRESB1	۲/۵	۶/۹	۱۱/۴	۱۴/۹	۱۷/۳
۱۸	SRESB2	۲/۵	۶/۹	۱۱/۹	۱۶/۲	۱۹/۵
	میانگین	۶/۸	۶/۸	۱۱/۵	۱۵/۸	۱۹/۸

IS92a جهت مقایسه نتایج استفاده گردید، نتایج بدست آمده از دو الگو برای بازه زمانی ۲۰۱۱ تا ۲۰۴۰ میلادی (دهه ۲۰۲۵) به عنوان دوره پیش‌بینی مشترک مورد مقایسه قرار گرفت. شکل ۷ توزیع مکانی مقادیر پیش‌بینی دمای الگو LARS-WG و شکل ۸ توزیع مکانی بارش در الگوی LARS-WG برای دوره ۲۰۱۱-۲۰۴۰ میلادی را در کشور نشان می‌دهند. برای مقایسه نتایج مقادیر پیش‌بینی دما و بارش در دو الگو از آزمون‌های آماری استفاده گردید. نتایج بدست آمده از آزمون دو نمونه ای T نشان داد که در پیش‌بینی مقادیر دما و بارندگی الگو MAGICC SCENGEN با داده‌های LARS-WG با مقادیر الگوسازی دما و بارندگی الگوی HadCM2 تفاوت معنی داری در سطح ۰/۰۵ وجود ندارد و بازه اطمینان داده‌ها در الگو های مذکور مشتمل بر صفر است، بررسی مکانی تغییرات بارش در دوره ۲۰۱۰-۲۰۳۹ نشان دهنده وجود تغییرات منطقه‌ای در بارش‌های دو الگوی LARS-WG و MAGICC SCENGEN با داده‌های HadCM2 است. اما این تغییرات از نظر آماری با ۹۵ درصد اطمینان قابل قبول است جدول (۵).

نتیجه گیری

در این مطالعه از الگوی MAGICC-SCENGEN برای ریز مقیاس نمایی خروجی‌های دو الگوی گردش عمومی جو HadCM2

نتایج نشان می‌دهند که میانگین دمای تمامی استانهای کشور افزایش یافته بطوریکه میانگین آن در دهه‌های آینده و با سناریوهای مختلف بین ۰/۴ تا ۰/۰ درجه سانتیگراد در الگوی HadCM2 و بین ۰/۵ تا ۴ درجه سانتیگراد در الگوی ECHAM4 افزایش خواهد داشت که بیشترین تغییرات دما به میزان ۰/۴ تا ۰/۳ درجه سانتیگراد در دهه ۲۰۱۰ رخ می‌دهد. مقادیر جهانی این مقدار بین ۱/۴ تا ۰/۸ درجه سانتیگراد می‌باشد.

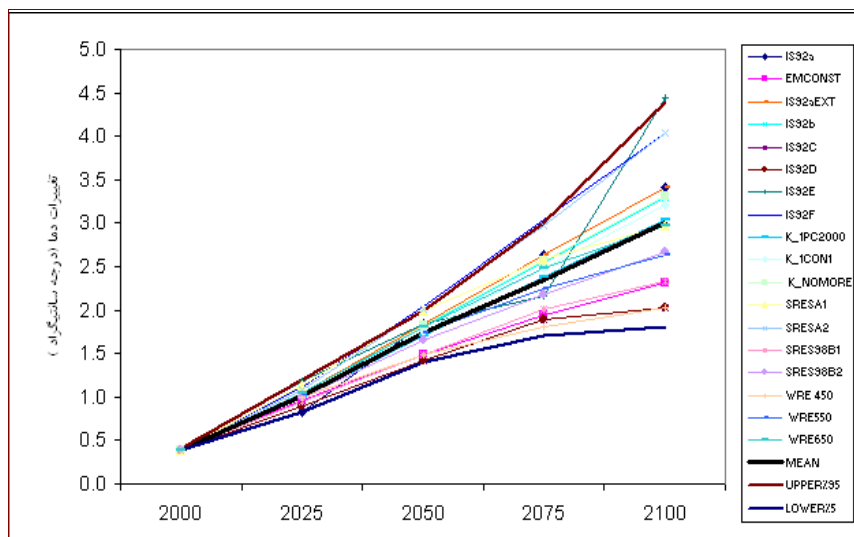
در الگوی HadCM2 بیشترین افزایش دما در استانهای یزد، خراسان جنوبی، چهارمحال و بختیاری، اصفهان، بخشهایی از خراسان رضوی، سمنان، تهران، مرکزی، قزوین و گیلان رخ می‌دهد. استانهای دیگری که با افزایش قابل ملاحظه دما مواجه هستند عبارتند از: هرمزگان، سیستان و بلوچستان، بوشهر، کرمان و فارس. اما در الگوی ECHAM4 بیشترین افزایش دما در استانهای فارس، اصفهان، چهارمحال و بختیاری، بوشهر، مازندران، تهران و بخشهایی از استانهای یزد، سمنان، قزوین، گیلان و مرکزی روی می‌دهد.

در نهایت نتایج حاصل از اجرای الگوی MAGICC SCENGEN را با نتایج اجرای الگوی LARS-WG مقایسه می‌کنیم. برای مقایسه نتایج بدست آمده از الگوی LARS-WG با الگوی MAGICC SCENGE ابتدا دوره مرجع ۳۰ ساله مورد استفاده در الگوی MAGICC SCENGEN (۱۹۶۱-۱۹۹۰) در الگوی LARS-WG نیز به کار گرفته شد و از سناریوی انتشار

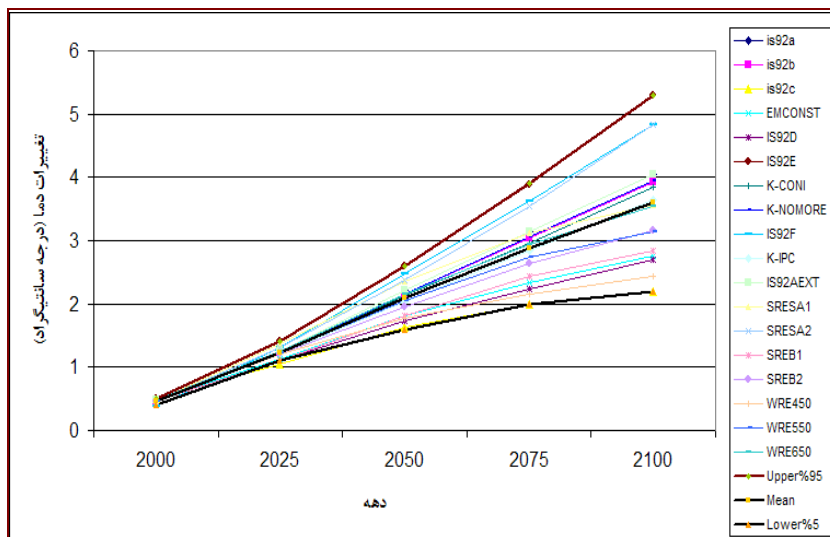
به میزان ۲/۵ درصد کاهش داده است اما برای دوره مشابه الگو ECHAM4 بارش‌های کشورمان را تا ۱۹/۸ درصد افزایش داده است.

علیرغم اینکه سناریوهای پیش‌فرض را برای اجرای هر دو الگو مذکور کاملاً یکسان بوده‌اند، با توجه به اینکه مراکز و دانشمندان مختلفی در توسعه هر کدام از دو الگو مشارکت داشته‌اند، علت اصلی اختلاف دو پاسخ‌ها به ساختار دینامیکی و طرحواره‌های فیزیکی و محاسباتی مختلف مورد استفاده در حل معادلات حرکت هوا مرتبط می‌باشد.

ECHAM4 با ۱۸ سناریوی اقلیمی مورد تایید IPCC بر روی کشورمان استفاده گردید. با بکارگیری این روش قدرت تفکیک افقی داده‌های الگوی گردش عمومی جو از حدود ۲/۵ درجه جغرافیایی به ۵/۰ درجه جغرافیایی افزایش یافت دوره مطالعه در این پژوهش دهه‌های ۲۰۰۰، ۲۰۲۵، ۲۰۵۰، ۲۰۷۵ و ۲۱۰۰ بود که تغییرات مقادیر بارش و دمای دوره پیش‌بینی شده توسط دو الگو یاد شده با دوره پایه (۱۹۶۱-۱۹۹۰) مقایسه شدند. هر چند هر دو الگو در ارتباط با پیش‌بینی میانگین دمای کشورمان تا حدود زیادی پاسخ‌یکسانی را ارائه نموده‌اند، اما در پیش‌بینی بارش اختلاف آنها قابل توجه می‌باشد، به طوریکه الگوی HadCM2 بارش ایران را تا دهه ۲۱۰۰



شکل ۵- برآورد تغییرات دمای کشورتوسط الگو M-S با استفاده از داده‌های الگو گردش عمومی جو HadCM2



شکل ۶- برآورد تغییرات دمای کشورتوسط الگو MAGICC SCENGEN با استفاده از داده‌های الگوی گردش عمومی جو ECHAM4

جدول ۴ - تغییرات میانگین دمای کشور (درجه سانتیگراد) در دهه های ۲۰۰۰ تا ۲۱۰۰ میلادی با استفاده از ریزمقیاس نمایی آماری خروجی مدل های MAGICC-SCENGEN با ۱۸ سناریوی انتشار

سناریو ها												ردیف (IPCC) مراجع بین المللی
۲۱۰۰ دهه	۲۰۷۵ دهه	۲۰۵۰ دهه	۲۰۲۵ دهه	۲۰۰۰ دهه	ECHAM4	HadCM2	ECHAM4	HadCM2	ECHAM4	HadCM2	ECHAM4	
۲/۴	۴/۱	۲/۶	۳/۱	۱/۸	۲/۲	-۰/۸	۱/۲	-۰/۴	-۰/۵	IS92a	۱	
۲/۳	۲/۹	۲/۶	۳	۱/۸	۲/۱	۰/۱	۱/۲	-۰/۴	-۰/۵	IS92b	۲	
۱/۸	۲/۲	۱/۷	۲	۱/۴	۱/۶	-۰/۹	۱/۱	-۰/۴	-۰/۵	IS92c	۳	
۲	۲/۷	۱/۹	۲/۲	۱/۴	۱/۷	-۰/۹	۱/۱	-۰/۴	-۰/۴	IS92d	۴	
۴/۴	۵/۳	۲/۲	۳/۹	۱/۸	۱/۶	۱/۲	۱/۴	-۰/۴	-۰/۵	IS92e	۵	
۴	۴/۸	۳	۲/۶	۲	۲/۵	۱/۱	۱/۴	-۰/۴	-۰/۴	IS92f	۶	
۲/۴	۴/۱	۲/۶	۳/۱	۱/۸	۲/۲	۱/۱	۱/۲	-۰/۴	-۰/۵	IS92aEXT	۷	
۲/۲	۲/۸	۲/۵	۳	۱/۸	۲/۱	۰/۱	۱/۲	-۰/۴	-۰/۵	K-CONI	۸	
۳	۲/۶	۲/۴	۲/۸	۱/۷	۲	۰/۱	۱/۲	-۰/۴	-۰/۵	K-IPC	۹	
۲/۳	۴	۲/۶	۳/۱	۱/۸	۲/۱	۰/۱	۱/۲	-۰/۴	-۰/۵	K-NOMO	۱۰	
۲/۳	۲/۸	۱/۹	۲/۳	۱/۵	۱/۸	۰/۱	۱/۱	-۰/۴	-۰/۵	EMCONST	۱۱	
۲	۲/۴	۱/۸	۲/۲	۱/۵	۱/۸	۰/۱	۱/۲	-۰/۴	-۰/۵	WRE450	۱۲	
۲/۶	۳/۱	۲/۲	۲/۷	۱/۷	۲	۰/۱	۱/۲	-۰/۴	-۰/۵	WRE550	۱۳	
۳	۳/۵	۲/۵	۲/۹	۱/۸	۲/۲	۰/۱	۱/۲	-۰/۴	-۰/۵	WRE650	۱۴	
۳	۳/۶	۲/۶	۳/۱	۲	۲/۴	۰/۱	۱/۴	-۰/۴	-۰/۵	SRESA1	۱۵	
۴	۴/۸	۳	۳/۵	۲	۲/۴	۰/۱	۱/۳	-۰/۴	-۰/۵	SRESA2	۱۶	
۲/۳	۲/۸	۲	۲/۴	۱/۵	۱/۸	-۰/۹	۰/۱	-۰/۴	-۰/۵	SRESB1	۱۷	
۲/۷	۳/۲	۲/۲	۲/۶	۱/۷	۲	۰/۱	۱/۲	-۰/۴	-۰/۵	SRESB2	۱۸	
۳	۳/۶	۲/۳	۲/۹	۱/۷	۲/۱	۰/۱	۱/۲	-۰/۴	-۰/۵	میانگین		

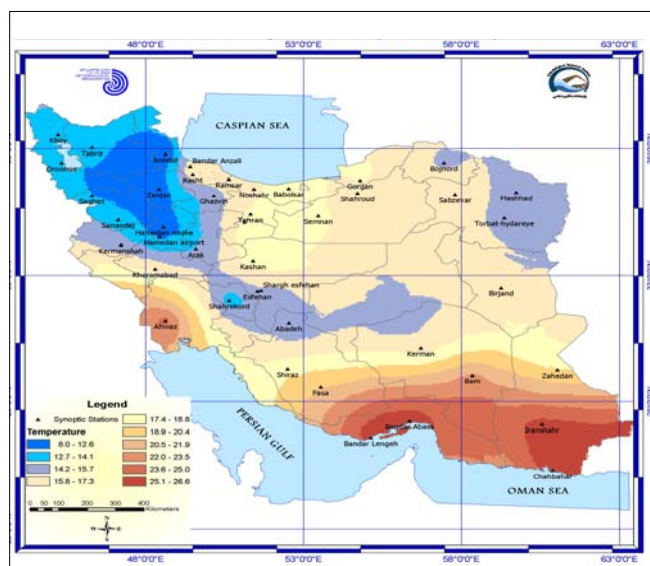
جدول ۵ - مقایسه مقادیر پیش‌بینی دما و بارش الگوهای ۲۰۲۵ میلادی برای کشور

MAGICC SCENGEN IS92a(Hadcm2)	MAGICC SCENGEN IS92a(Hadem2)	الگو	دما	آماره	LARS WG
بارش				t-Test	Significance level
۰/۸۵			۱/۷۱		
-۰/۳۹			-۰/۰۹۳		
-۴۶/۱	۱۱۴/۳		-۰/۰۰۸	۰/۱۱	95percent confidence interval
-۰/۹۹ **			-۰/۹۹		Correlation

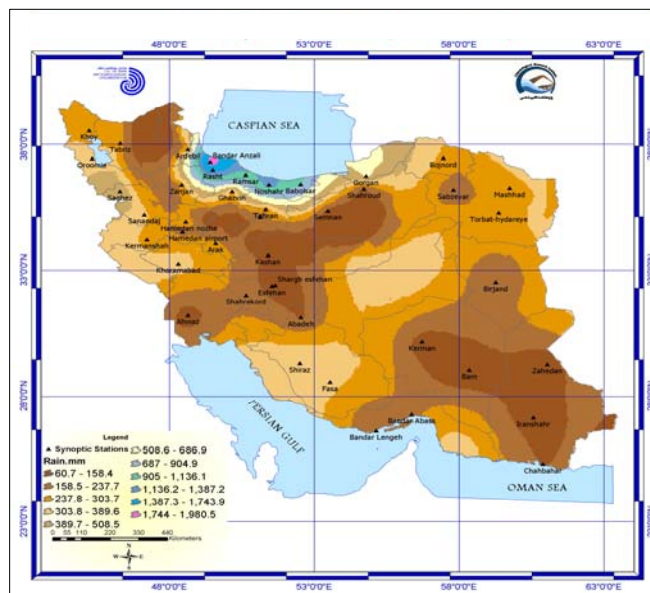
** Correlation is significant at the 0.01 level (2-tailed)

پیش‌بینی نموده است که بیشترین افزایش در سواحل خلیج فارس و دریای عمان خواهد بود. الگوهای مذکور برای دهه‌های آتی افزایش دما را پیش‌بینی نموده اند. پیش‌بینی الگوی HadCM2 برای افزایش دما بین +۰/۴ (دهه ۲۰۰۰) تا ۴/۴ (دهه ۲۱۰۰) درجه سانتیگراد و الگوی ECHAM4 بین ۰/۴ (+۰/۰ دهه ۲۰۰۰) تا ۵/۳ (دهه ۲۱۰۰) درجه سانتیگراد می‌باشد. در هر دو الگو بیشترین افزایش را سناریوی IS92E پیش‌بینی نموده است که دارای بیشترین انتشار دی اکسیدکربن و دی اکسید گوگرد می‌باشد سناریوی IS92E افزایش دمای بیشتری را پیش‌بینی نموده است که ناشی از پیش‌بینی انتشار دی اکسیدکربن و دی اکسید گوگرد نسبت به سایر سناریوها می‌باشد. در هر دو الگو توزیع مکانی افزایش دما با هم مطابقت دارند، اما بیشترین پیش‌بینی افزایش دمای دهه ۲۱۰۰ در الگو ECHAM4 حدود یک درجه از الگو HadCM2 بیشتر است.

به طور کلی الگو HadCM2 بارش کشورمان را تا دهه ۲۱۰۰ به میزان ۲/۵ درصد کاهش داده است که در بین ۱۸ سناریوی مورد استفاده سناریو IPCC IS92D بیشترین کاهش بارش را با ۶ درصد کاهش پیش‌بینی نموده است. در این الگو بیشترین کاهش ها در نواحی جنوبی کشور شامل استانهای هرمزگان، سیستان و بلوچستان، فارس، کرمان و بوشهر رخ می‌دهد. این الگو برای نواحی شمال‌شرقی کشورمان بیشترین افزایش را پیش‌بینی نموده است. همانطور که گفته شد الگو ECHAM4 افزایش بارش را برای کشور پیش‌بینی کرده است که بیشترین افزایش بارش توسط سناریوی IS92E با ۲/۹ درصد افزایش در دهه ۲۱۰۰ الگو شده است. در بین ۱۸ سناریوی پیش‌فرض این سناریو دارای بیشترین انتشار دی اکسیدکربن و دی اکسید سولفور در دوره ۲۱۰۰ می‌باشد. برخلاف الگو HadCM2 الگو ECHAM4 عمدها برای نواحی جنوبی کشور افزایش و برای نواحی شمالی کشور کاهش بارش را



شکل ۷- نقشه مقدار پیش بینی دمای الگوی LARS-WG در دوره ۲۰۴۰-۲۰۶۰ میلادی برای کشور



شکل ۸- توزیع مکانی بارش در الگوی LARS-WG برای دوره ۲۰۴۰-۲۰۶۰ میلادی در کشور

MAGICC SCENGEN با الگوی LARS-WG مطابقت خوبی دارد.

سپاسگزاری

این مقاله بخشی از پژوهه "الگوسازی اقلیمی و تغییرات اقلیمی ایران" است که بطور مشترک مورد حمایت مالی سازمان هوافضای ایران و سازمان حفاظت محیط زیست کشور و پژوهشکده هوافضایی میباشد. بدین وسیله از کلیه مسئولین و کارشناسان مربوطه برای

MAGICC SCENGEN با نتایج بدست آمده از اجرای الگو LARS-WG نشان دهنده وجود تغییرات منطقه‌ای در بارش‌های دو الگوی MAGICC SCENGEN و LADS-WG باده‌های HADCM2 است. اما این تغییرات از نظر آماری با ۹۵ درصد اطمینان قابل قبول اند و هر دو الگو کاهش بارندگی را در دهه ۲۰۲۵ برای کشور پیش‌بینی می‌کنند. الگوی LARS-WG نتایج حاصل از اجرای الگوی MAGICC SCENGEN با داده‌های HADCM2 را تایید می‌کند. در پیش‌بینی مقدارهای میانگین دما، نتایج الگوی

منابع

- ۱- بابایان ا. و همکاران. ۱۳۸۶. الگوسازی اقلیم ایران در افق ۱۴۰۰ میلادی با استفاده از ریز مقیاس نمایی آماری خروجی الگو ECHO-G پروژه خاتمه یافته پژوهشکده اقلیم شناسی.
- ۲- حبیبی م. و همکاران. ۱۳۸۷. الگوسازی اقلیمی و تغییرات اقلیمی ایران، پروژه خاتمه یافته پژوهشکده اقلیم شناسی.
- ۳- صمدی ا، مساج بوانی ع. و مهدوی م. ۱۳۸۶. بررسی تاثیر روش‌های کوچک مقیاس کردن رگرسیونی بر رژیم سیالاب رودخانه، کارگاه فنی اثرات تغییر اقلیم در مدیریت منابع آب، صفحه ۸۳
- 4- Andrew Ross L., and Damon Matthews H. 2009. Climate engineering and the risk of rapid climate change, Environmental Research Letters, 4 (October-December 2009) 045103.
 - 5- Babaeian I., Kwon W.T., and Im E.S. 2004. Application of Weather Generator technique for climate change assessment over Korea. Korea Meteorological Research Institute, Climate Research lab., 75pp.
 - 6- Covey C., AchutaRao K.M., Cubasch U., Jones P.D., Lambert S.J., Mann M.E., Phillips T.J., and Taylor K.E. 2003. An overview of results from the Coupled Model Intercomparison Project (CMIP). Global and Planetary Change 37, 103–133.
 - 7- Gusev E.; Nasonova O. 2007. Technique for estimating the dynamics of water and carbon budgets of a coniferous forest ecosystem, Atmospheric and Oceanic Physics, Volume 43, Number 1, February 2007 , pp. 70-80(11).
 - 8- Hulme M., Wigley T.M.L., Barrow E.M., Raper S.C.B., Centella A., Smith S.J., and Chipanshi A.C., 2000. Using a Climate Scenario Generator for Vulnerability and Adaptation Assessments: MAGICC and SCENGEN Version 2.4 Workbook. Climatic Research Unit, Norwich UK, 52 pp.
 - 9- Harvey L.D.D., Gregory J., Hoffert M., Jain A., Lal M., Leemans R., Raper S.B.C., Wigley T.M.L., and De Wolde J. 1997. An introduction to simple climate models used in the IPCC Second Assessment Report: IPCC Technical Paper 2 (eds J.T. Houghton, L.G. Meira Filho, D.J. Griggs and M. Noguer), Intergovernmental Panel on Climate Change, Geneva, Switzerland, 50 pp.
 - 10- Harmel R.D., et.al. 2002. Evaluating the Adequacy of Simulating Maximum and Minimum Daily Air Temperature With the Normal Distribution, Canadian Society for engineering , 26pp.
 - 11- Johnson G.L., Hanson C.L., Hardegree S.P., and Ballard E.B. 1996. Stochastic weather simulation: overview and analysis of two commonly used models. J. Applied Meteorology 35, 1878-1896.
 - 12- Kattenberg A., Giorgi F. Grassl H., Meehl G.A., Mitchell J.F.B., Stouffer R.J., Tokioka T., Weaver A.J., and Wigley T.M.L. 1996. Climate models.projections of future climate. (In) Climate Change 1995: The Science of Climate Change (eds J.T. Houghton, L.G. Meira Filho, B.A. Callander, N. Harris, A. Kattenberg and K. Maskell), Cambridge University Press, New York, 285.357.
 - 13- Lazar B., and Williams M. 2008. Climate change in Western ski areas: Potential changes in the timing of wet avalanches and snow quality for the Aspen ski area in the years 2030 and 2100, cold regions science and technology 51, 219-228.
 - 14- Locatelli B., Herawat H. 2008. Methods and Tools for Assessing the Vulnerability of Forests and People to Climate Change ,Working Paper, Center for International Forestry Research(CIFOR).2-24.
 - 15- Mc Kague K., et.Al. 2003. Clim Gen- A Convenient weather Generation Tool for Canadian climate stations, proceeding of CCAE/SCGR 2003 Meeting, Montreal, Canada.
 - 16- Raper S.C.B., Wigley T.M.L., and Warrick R.A. 1996. Global sea level rise: past and future. (In) Sea-Level Rise and Coastal Subsidence: Causes, Consequences and Strategies (eds. J. Milliman and B.U. Haq), Kluwer Academic Publishers, Dordrecht, The Netherlands, 11–45.
 - 17- Richardson C.W., and Wright D.A. 1984. WGEN: A model for generating daily weather variables. U.S. Dept. Agr., Agricultural Research Service, Publ. ARS-8, 83 pp.
 - 18- Santer B.D., Wigley T.M.L., Schlesinger M.E., and Mitchell J.F.B. 1990. Developing Climate Scenarios from Equilibrium GCM Results. Max-Planck-Institut für Meteorologie Report No. 47, Hamburg, Germany, 29pp.
 - 19- Schimel D.S., Grubb M., Joos F., Kaufmann R.K., Moss R., Ogana W., Richels R., and Wigley T.M.L., 1997. Stabilization of atmospheric greenhouse gases: physical, biological and socio-economic

- implications: IPCC Technical Paper 3 (eds. J.T. Houghton, L.G. Meira Filho, D.J. Griggs, M. Noguer), Intergovernmental Panel on Climate Change, Geneva, Switzerland, 52 pp.
- 20- Semenov M.A., and Barrow E.M. 2002. LARS-WG a stochastic weather generator for use in climate impact studies. User's manual, Version 3.0.
- 21- Stehr A., Debels P., Luis Arum J. 2008. Modelling hydrological response to climate change; experiences from two south – central Chilean Watersheds. 21st Century Watershed Technology: Improving Water Quality and Environment Conference Proceedings, 29 March - 3 April 2008, Concepcion, Chile 701P0208cd.
- 22- Wigley T.M.L. 1993. Balancing the carbon budget. Implications for projections of future carbon dioxide concentration changes. Tellus 45B, 409-425.
- 23- Wigley T.M.L. 1994a. The contribution from emissions of different gases to the enhanced greenhouse effect. (In) Climate Change and the Agenda for Research (ed. T. Hanisch), Westview Press, Boulder, CO, 193-222.
- 24- Wigley T.M.L., Smith S.J., and Prather M.J. 2002. Radiative forcing due to reactive gas emissions. Journal of Climate 15, 2690–2696.
- 25- Wigley T.M.L., Raper S.C.B., Hulme M., and Smith S. 2000. The MAGICC/SCENGEN Climate Scenario Generator: Version 2.4, Technical Manual, Climatic Research Unit, UEA,Norwich, UK, 2-48pp.
- 26- Wigley T.M.L. 2003. MAGICC/SCENGEN 4.1: Technical Manual, National Center for Atmospheric Research, Colorado, USA, October 2003,1-24.
- 27- Wigley T.M.L., Jain A., Joos F., Shukla P.R., and Nyenzi B.S. 1997a. Implications of proposed CO₂ emissions limitations: IPCC Technical Paper 4 (eds. J.T. Houghton, L.G. Meira Filho, D.J. Griggs and M. Noguer), Intergovernmental Panel on Climate Change, Geneva, Switzerland, 41 pp.
- 28- Warrick R.A., Le Provost C., Meier M., Oerlemans J., and Woodworth P. 1996. Changes in sea level. (In) Climate Change 1995: The Science of Climate Change (eds J.T. Houghton, L.G. Meira Filho, B.A. Callander, N. Harris, A. Kattenberg and K. Maskell), Cambridge University Press, New York, pp. 358-405.
- 29- Willby R.L., Dawson C.W., Barrow E.M. 2001. SDSM Version 3.1 –A decision support tool for the assessment of regional climate change impacts.



Forecasting and Assessment of Climate Change over Iran During Future Decades by Using MAGICC-SCENGEN Model

F. Abbasi^{1*} - M. Asmari²

Received:13-1-2010

Accepted:7-11-2010

Abstract

In this paper, we modeled the climate of Iran for future periods. Each period is a 30-years period centered on a year. The range of periods is from 2000 (i.e., 1986-2015) to 2100 (i.e., 2086-2115). This was made using 2 General Circulation Models (ECHAM4 and HadCM2) and 18 IPCC scenarios. MAGICC-SCENGEN was used as a tool for downscaling GCM low resolution output data. Result of HadCM2 model shows a % 2.5decrease in precipitation until 2100 but ECHAM4 shows a %19.8 increase for this period. Another difference between results of these 2 models is that HadCM2 predicts an increase in precipitation in next decades for Mazandaran, Golestan, Khorasan Shomali, Khorasan Razavi, Semnan, Tehran and some parts of Gilan and Ghazvin provinces, while ECHAM4 predicts a decrease for that regions. HadCM2 predicts precipitation decrease for southeast of country (Hormozgan, Kerman, Bushehr, south of Fars and some parts of sistan va Baloochestan, but in ECHAM4 that regions will have precipitation increase in similar period. About temperature, both HadCM2 and ECHAM4 agree in temperature increase in next decades for all provinces. These 2 models predict, on the average, 3 to 3.6°C increases in temperature until decade 2100. Maximum increase in decadal temperature in ECHAM4 is about 1°C more than HadCM2 and both of them are in conformity with each other in spatial distribution of decadal temperature.

Keywords: Magicc-Scengen, General Circulation Model, HadCM2 ,ECHAM4, Climate Change

1,2-Assistant Researcher, University of Applied Science and Technology
(*Corresponding Author Email:abbasi9999@yahoo.com)